

۵۷۵-۵۵۵

بهینه‌سازی استخراج عصاره آنتی‌اکسیدانی از جلبک دریایی خلیج فارس (*Chaetomorpha sp*) با کمک مایکروویو و اولتراسوند و با

استفاده از روش پاسخ سطح

- ❖ پروا سفری: کارشناس ارشد گروه فرآوری محصولات شیلاتی، دانشکده علوم دریایی، دانشگاه تربیت مدرس، نور
- ❖ مسعود رضائی*: استاد گروه فرآوری محصولات شیلاتی، دانشکده علوم دریایی، دانشگاه تربیت مدرس، دانشکده علوم دریایی تربیت مدرس، شهرستان نور
- ❖ امیرضا شویکل‌لو: استادیار مؤسسه تحقیقات علوم دامی کشور
- ❖ آریا باباخانی لشکان: استادیار گروه شیلات، دانشکده منابع طبیعی صومعه‌سراء، دانشگاه گیلان

چکیده

جلبک‌های سبز خلیج فارس است که می‌تواند به‌منزله منبعی دریایی حاوی آنتی‌اکسیدان‌های طبیعی از جمله پلی‌فنول‌ها باشد. استخراج و کاربرد ترکیبات آنتی‌اکسیدانی و سایر مواد زیست‌فعال از منابع طبیعی و استفاده از طرفیت‌های بومی می‌تواند موجب رشد اقتصادی و صنعتی هر منطقه شود. استخراج به کمک مایکروویو و اولتراسوند از جمله روش‌های جدید است و با مزیت‌هایی چون کاهش زمان استخراج و افزایش بهره‌وری انرژی همراه با کاهش تخریب ترکیبات هدف پتانسیل استفاده در آزمایشگاه‌ها را دارد. در این مطالعه برای بهینه‌سازی استخراج ترکیبات آنتی‌اکسیدانی از جلبک *C. sp* از طراحی مرکب مرکزی در روش مایکروویو شامل ۶ تکرار در نقطه مرکزی و ۲۰ دور آزمایشی و در روش اولتراسوند از طرح باکس بنکن شامل ۶ تکرار در نقطه مرکزی و ۱۷ دور آزمایشی استفاده شد. خاصیت آنتی‌اکسیدانی با آزمایش‌های میزان فنول کل، قدرت کاهندگی آهن، فعالیت جذب رادیکال آزاد و طرفیت آنتی‌اکسیدانی کل اندازه‌گیری شد. نتایج نشان داد که بیشترین فعالیت آنتی‌اکسیدانی در شرایط بهینه در روش مایکروویو در قدرت ۳۰۰، زمان ۸ و غلظت استون به آب ۲۵٪ و در روش اولتراسوند در زمان ۳۰، دمای ۳۰°C استون به آب ۰٪ به دست آمد و میزان فنول به ترتیب ۶۰.۹۱ و ۱۰.۹۱ میلی گرم تانیک‌اکسید بر گرم پودر جلبکی بود. مقادیر واقعی آزمایشی و مقادیر پیش‌بینی شده با نرم‌افزار نیز دارای روابط منطقی بودند که نشان‌دهنده تناسب مدل‌های به کاررفته و نیز سازگاری روش پاسخ سطح برای تعیین شرایط بهینه بوده است. همچنین، جلبک *C. sp* دارای فعالیت آنتی‌اکسیدانی بود و به‌منزله منبعی از فنول‌های طبیعی قابلیت استفاده در صنایع غذایی و دارویی را خواهد داشت.

واژگان کلیدی: استخراج به کمک اولتراسوند، استخراج به کمک مایکروویو، پلی‌فنول‌ها، ترکیبات آنتی‌اکسیدانی، جلبک سبز .*Chaetomorpha.sp*

می‌آید. جلبک‌ها طی چرخه زندگی به میزان زیادی در برابر نور و غلظت بالای اکسیژن قرار می‌گیرند، که ترکیب این دو عامل مانند دیگر اکسنده‌های قدرتمند موجب تحریک تولید رادیکال‌های آزاد می‌شود. نبود آسیب‌های اکسیداتیو در ترکیبات ساختاری جلبک‌ها و نیز مقاومت آن‌ها در برابر شرایط سخت زیستگاهشان شاهدی بر وجود ترکیبات آنتی‌اکسیدانی در آن‌هاست (López et al., 2011; Souza et al., 2011). استخراج ترکیبات زیست‌فعال در دهه‌های گذشته بیشتر مبتنی بر روش‌های سنتی بوده است. بسیاری از روش‌های استخراج چون رفلکس، سوکسله و برخی از روش‌های جدیدتر مثل استخراج مایع فوق بحرانی، که از جمله روش‌های غالب در آزمایشگاه‌ها هستند، طی فرایند استخراج طولانی دارند که از معایب روش‌های فوق به شمار می‌روند و در نهایت منجر به تخریب فلاونوئیدها، مصرف بالای حلال، هزینه زیاد فرایند و کاهش مقبولیت محیط‌زیستی می‌شوند. ضمن این که نور و اکسیژن طی استخراج فاکتورهای تشدیدکننده تخریب ترکیبات هدف‌اند (Routray Zheng et al., 2009; Routray et al., 2012) بنابراین، سعی شد از روش‌های جدیدی برای استخراج بهره گرفته شود تا ضمن رفع کاستی‌های روش‌های قدیمی کارایی استخراج ترکیبات هدف نیز ارتقا یابد. قاعده کلی این فناوری‌ها کاهش زمان فرایند، ذخیره انرژی و ارتقای کیفیت محصول است (Chemat et al., 2011). استخراج به کمک اولتراسوند بهمنزله روشی آزمایشگاهی به طور گسترده برای استخراج ترکیبات و متابولیت‌های گیاهی به کار رفته است (Vilkhu et

۱. مقدمه

در دهه‌های اخیر، استخراج و شناسایی افزوده‌های فراسودمند^۱ با منشاً طبیعی یکی از مسائل اساسی و مهم در صنعت و علم مواد غذایی بوده است. از این‌رو، جلبک‌ها و میکروجلبک‌ها نیز بهمنزله یکی از منابع ممکن برای استخراج این ترکیبات ارزشمند هدف مطالعات بسیاری از دانشمندان و پژوهش‌گران قرار گرفته‌اند. در کشورهای پیشرفته از جلبک‌ها بهمنزله منبعی برای استخراج ترکیبات مختلف استفاده می‌شود که می‌توان به استخراج آژینات از جلبک‌های قهوه‌ای و آگار و کاراژینات از جلبک‌های قرمز اشاره کرد (Plaza et al., 2008). تأثیرات مثبت مصرف فیبرهای غذایی جلبک‌ها در کاهش خطر ابتلا به سرطان روده، یبوست و بیماری‌های قلبی و عروقی مرتبط با کلسیترول بالا، چاقی و دیابت در مطالعات متعدد نشان داده شده است (Ganesan et al., 2011). جلبک‌ها مدت‌هاست که در کشورهای آسیایی تأمین‌کننده بخشی از سبد غذایی مردم بوده‌اند (Nahas et al., 2005; Kuda et al., 2007) اما آنچه در دهه‌های اخیر بر اهمیت این منابع دریایی افزوده است تنوع محصولات ثانویه از جمله آنتی‌اکسیدان‌ها در آن‌هاست که بهمنزله ترکیباتی مؤثر علیه استرس‌های اکسیداتیو در بدن انسان ساخته شده‌اند (Li et al., 2009). استرسی که طی حیات انسان و سایر ارگانیسم‌های زنده، به دلیل سوخت‌وسازهای طبیعی بدن، از طریق گروهی از اکسیژن‌های بازفعال شده مثل آنیون‌های سوپراکسید، رادیکال بسیار مخرب هیدروکسیل و رادیکال پروکسیل به وجود

1. Functional additive

از روش‌های استخراج مایکروویو و اولتراسوند تعیین شد.

۲. مواد و روش‌ها

در این مطالعه از مواد شیمیایی مختلف شامل تری‌کلرید آهن^۱، پتاسیم فری‌سیانید، تری‌کلرو استیک اسید، پتاسیم هیدروژن فسفات، سدیم کربنات، اسید سولفوریک، آمونیوم هپتامولیبدات، اسید آسکوربیک، اسید تانیک، معرف فولین - سیوکالتو، رادیکال پایدار ۲ و ۲ دی‌فنیل ۱ پیکریل - هیدرازیل^۲ (مرک و اپلیکم و شارلو) استفاده شد. ضمن این‌که حلال‌های مصرفی از نوع مرک و با خلوص بالا بودند.

۱۰. جمع‌آوری و آماده‌سازی نمونه‌ها

جلبک‌های دریایی به طور تازه از سواحل جنوبی بوشهر در منطقه جزرومدی جمع‌آوری شدند و پس از شست‌شو با آب دریا و آب شیرین و حذف باقی‌مانده اپی‌فیت‌ها، شن و ماسه در سایه خشک و به آزمایشگاه منتقل شدند. نمونه‌ها پس از خشک شدن با دستگاه انجماد تصعیدی^۳ OPR-FDU-(OPERON 7012، کره) طی مدت زمان ۲۴ ساعت در آسیابی الکتریکی (Mulinex, La Molinette, 1000w، فرانسه) به پودر تبدیل شدند. در روش استخراج با دستگاه مایکروویو خانگی (ME3410W، سumsung مالزی) ۲/۵ گرم از پودر جلبکی تهیه شده با نسبت ۱:۲۰ (حلال: جلبک) در ۵۰ میلی‌لیتر از حلال استون در غلظت‌های٪.۰،٪.۲۵،٪.۵۰،٪.۷۵ و٪.۱۰۰ استون در ترکیب با آب، در سطوح مختلف

(al., 2008). گزارش‌های متعددی نیز در مورد کاربرد مایکروویو برای استخراج متابولیت‌های ثانویه از گیاهان، مثل پلی‌فنول‌ها از ماتریکس‌های مختلف، در میان دستاوردهای علمی محققان دیده می‌شود (Su et al., 2009; Camel, 2000). روشی که در مقایسه با روش‌های گذشته، ضمن حفظ انرژی، استخراج مؤثرتری (Nuchter et al., 2004) از ترکیب‌های حساس به دما را داشته باشد.

خلیج فارس و سواحل آن، با شرایط منحصر به فرد آب‌وهایی، زیستگاه گونه‌های ناب و درخور مطالعه است. ثروتی خاص از منابع طبیعی که در هر یک از آن‌ها نهفته است عرصه تحقیقات بسیار وسیعی برای محققان به وجود آورده است که شایسته توجه است. گونه مورد مطالعه ما جلبک دریایی خلیج فارس *Chaetomorpha sp* بود که در فصل تابستان از سواحل بوشهر برداشت شد. این گونه از راسته جلبک‌های سبز بود که در قسمت‌های بالای جزرومدی و چاله‌های کم‌عمق روی بسترها صخره‌ای رویش دارد. هدف از این مطالعه بررسی فعالیت آنتی‌اکسیدانی عصاره استخراج شده از جلبک دریایی *Chaetomorpha sp* با کمک روش‌های جدید استخراج چون مایکروویو و اولتراسوند است. برای بررسی فعالیت آنتی‌اکسیدانی از آزمایش‌های میزان فنول کل، فعالیت کاهنده‌گی آهن، فعالیت جذب رادیکال آزاد DPPH و ظرفیت آنتی‌اکسیدانی کل استفاده شد. ضمن این‌که شاخص‌های متعددی می‌توانستند به طور بالقوه کارایی استخراج را تحت تأثیر قرار دهند که این عوامل با کمک طراحی‌ای آماری آزمایشی با عنوان روش پاسخ سطح ارزیابی شدند و در نهایت شرایط بهینه استخراج در هر یک

1. FeCl₃-6H₂O

2. DPPH

3. Freeze drier

استاندارد برابر با رابطه ۱ است.
 $(Y=0.0138x, R^2=0.9946)$ (۱)

۳.۲ ظرفیت آنتی اکسیدانی کل (TAC)^۲

ظرفیت آنتی اکسیدانی کل عصاره های جلبکی با روش Prieto et al. (1999) اندازه گیری شد. ۰/۶ میلی لیتر نمونه با ۶ میلی لیتر محلول معرف (۰/۶ مولار اسید سولفوریک، ۲۸ میلی مولار فسفات سدیم و ۴ میلی مولار آمونیوم مولیبدات) مخلوط و محلول حاصل در حمام آبی (دمای ۹۵ درجه سانتی گراد) به مدت ۹۰ دقیقه قرار گرفت و جذب نمونه ها در طول موج ۶۹۵ نانومتر با دستگاه اسپکتروفوتومتر Lambda-PerkinElmer precisely) خوانده شد. برای رسم منحنی استاندارد از محلول آسکوربیک اسید در غلظت های ۰/۱، ۰/۲، ۰/۴ و ۰/۸ میلی گرم بر میلی لیتر استفاده شد و نتایج بر اساس میلی گرم آسکوربیک اسید بر گرم پودر جلبکی خشک شده بیان شد. معادله منحنی استاندارد برابر با رابطه ۲ است:

$$(Y=0.0032x, R^2=0.99) \quad (۲)$$

۴.۲ قدرت کاهندگی آهن^۳

طبق روش Chew et al., 2008 میلی لیتر از عصاره به ۲/۵ میلی لیتر از محلول با فرفسفات (pH=۶/۶) اضافه شد و پس از اضافه کردن ۲/۵ میلی لیتر پتاسیم فری سیانید ۱٪ انکوباسیون نمونه ها به مدت ۲۰ دقیقه در حمامی آبی با دمای ۵۰ درجه سانتی گراد انجام شد. نمونه ها پس از اضافه کردن ۲/۵ میلی لیتر

قدرت مایکروویو ۶۰۰-۲۰۰ وات (۴۰۰، ۳۰۰، ۲۰۰، ۵۰۰ و ۶۰۰ وات) و بازه زمانی ۴ تا ۱۲ دقیقه (۴، ۶، ۸، ۱۰ و ۱۲ دقیقه) استخراج شدند. در استخراج به کمک اولتراسوند نیز ۲/۵ گرم از پودر جلبک با ۵۰ میلی لیتر حلal استون در غلظت های مختلف (۰٪، ۵٪ و ۱۰٪ استون) با نسبت ۱:۲۰ (حلال: جلبک) در سه زمان ۳۰، ۶۰ و ۹۰ دقیقه و سه دمای ۳۰، ۴۵ و ۶۰ درجه سانتی گراد استخراج شدند. طی زمان استخراج، حلال مورد استفاده با مبرد نصب شده روی دستگاه خنک شد. عصاره ها پس از سرد شدن در دمای اتاق (۲۸-۲۶ درجه سانتی گراد، حدود ۲۰ دقیقه) با کاغذ صافی (واتمن ۴۲) فیلتر شدند و پس از سانتریفیوژ (دور ۳۰۰۰ rpm به مدت ۵ دقیقه) و جدا کردن فاز بالایی محلول، در فریزر ۲۰- درجه سانتی گراد نگهداری شدند.

۲.۲ تعیین محتوای فنول کل^۱

برای تعیین فنول کل از روش Taga. M. silvia, 1984 استفاده شد. به ۲۰۰ میکرولیتر از عصاره، ۴ میلی لیتر ۰.۲٪ Na₂CO₃ اضافه و پس از ۲ دقیقه، ۲۰۰ میکرولیتر محلول فولین-سیوکالتو ۵٪ به آن اضافه شد و پس از قرار گرفتن در تاریکی به مدت ۳۰ دقیقه جذب نمونه ها در طول موج ۷۲۰ نانومتر با دستگاه اسپکتروفوتومتر (Lambda-PerkinElmer precisely، امریکا) خوانده شد و نتایج بر حسب میلی گرم تانیک اسید به گرم پودر جلبکی خشک شده بیان شد. به منظور رسم منحنی استاندارد از محلول اسید تانیک در غلظت های ۰، ۰/۰۲، ۰/۰۱ و ۰/۰۵ میلی گرم بر میلی لیتر استفاده شد. معادله منحنی

2. Total antioxidant capacity
3. Ferric reducing power activity (FRAP)

1. Total phenol content

امريكا) خوانده شد. ميزان فعالیت آنتی‌اکسیدانی رادیکالی عصاره مطابق فرمول زير محاسبه خواهد شد.

(4)

$$RSA = [1 - ((A_{\text{sample}} - A_{\text{sample blank}})/A_{\text{control}})]$$

$A_{\text{sample blank}}$ جذب نمونه بعد از زمان مورد نظر؛
 A_{control} جذب کنترل بعد از زمان مورد نظر؛
 A_{sample} جذب نمونه و محلول DPPH بعد از زمان مورد نظر.

۳. طراحی آزمایش‌ها و آنالیز آماری

برای طراحی آزمایش‌ها، محاسبات و آنالیز داده‌ها و تفسیر نتایج از نرم‌افزار (State-Ease, Inc, Design Expert (Minneapolis, MN, USA نسخه ۷ استفاده شد. طراحی آزمایش در روش مایکروویو با روش پاسخ سطح، در ۵ سطح در مورد ۳ متغیر و به صورت کاملاً تصادفی به منظور تعیین بهترین ترکیب متغیرهای مؤثر در فرایند استخراج برای پاسخ‌های ميزان فنول کل، قدرت کاهندگی آهن، قدرت خشک‌کنندگی رادیکال و ظرفیت آنتی‌اکسیدانی کل انجام شد. طراحی آزمایش در قالب طرح مرکب مرکزی (CCD) ۳ و ۶ تکرار در نقطه مرکزی انجام شد. مقدار آلفا (فاصله نقاط محوری از مرکز و مقادیر کدگذاری شده) ۲ محسوبه شد. طرح آزمایش در ۲۰ قسمت برای ۳ متغیر مورد نظر شامل زمان، سطح قدرت و غلظت استون به آب طراحی شد. هر متغیر در ۵ سطح کدگذاری شده α^+ , α^0 , α^- , α^{-1} , α^{-2} -انجام

تری‌کلرو استیک اسید ۱۰٪ به مدت ۱۰ دقیقه در ۳۰۰۰ rpm سانتریفیوژ شدند و در ادامه با اضافه کردن ۲/۵ میلی‌لیتر آب قطره و ۰/۵ میلی‌لیتر کلرید آهن ۱/۰٪ به ۲/۵ میلی‌لیتر از محلول بالا، به مدت ۳۰ دقیقه در تاریکی قرار گرفتند و در نهايیت جذب نمونه‌ها با دستگاه اسپکتروفوتومتر (Lambda-PerkinElmer precisely) در ۷۰۰ نانومتر خوانده شد و نتایج بر حسب میلی‌گرم تانیک اسید به گرم پودر جلبکی بيان شد. برای رسم منحنی استاندارد از محلول اسید تانیک در غلظت‌های ۰, ۰/۰۱, ۰/۰۵, ۰/۰۲۵ و ۰/۰۱ میلی‌گرم بر میلی‌لیتر استفاده شد. فرمول منحنی استاندارد اسید تانیک برای ميزان کاهندگی آهن به صورت فرمول ۳ است. (Y= 0.0117x, R²=0.9954) (3)

۵.۲. قدرت خشک‌کنندگی رادیکال‌های آزاد^۱(DPPH)

بررسی فعالیت آنتی‌اکسیدانی با استفاده از رادیکال‌های پایدار ۲ و ۲ دی‌فنیل ۱ پیکریل-هیدرازیل (DPPH)، طبق روش Brand-Williams et al., 1995 انجام شد. عصاره‌های مختلف به ۲ میلی‌لیتر از محلول متابولی ۰/۱۶ میلی‌مولار رادیکال آزاد DPPH افزوده شد و ۱ دقیقه با دستگاه ورتکس (IKA, MS 3b, آلمان) به خوبی مخلوط و به مدت ۳۰ دقیقه در دمای محیط (۲۶-۲۸ درجه سانتی‌گراد) نگهداری شد تا تغییر رنگ در آن صورت بگیرد. سپس جذب محلول در طول موج ۵۱۷ نانومتر با Lambda-PerkinElmer استفاده از اسپکتروفوتومتر (

2. Response surface methodology
3. Central composite design

1. 2,2-diphenyl-1-picrylhydrazyl(DPPH)

$$Y = \beta_0 + \sum_{i=1}^k \beta_i X_i + \sum_{i=1}^k \beta_{ii} X_i^2 + \sum_{i=1}^{k-1} \sum_{j=i+1}^k \beta_{ij} X_i X_j + \varepsilon$$

در این تابع Y نشان‌دهنده پاسخ پیش‌بینی شده متغیرهای مورد آزمایش‌ها، β_0 عدد ثابت یا عرض از X_i مبدأ، β_{ii} و β_{ij} ضرایب مدل رگرسیون و X_i و X_j متغیرهای مستقل‌اند.² X_i^2 ... و X_k^2 تأثیرات محدود رتarded و $X_i X_k$ و ... تأثیرات کنش متقابل بین متغیرها و ۴ خطای احتمالی است. در روش پاسخ سطح این پارامترها معادله‌ای درجه دوم تشکیل می‌دهند و مقادیر بهینه هر یک از پارامترها و سطح حاصل از معادله درجه دوم بر داده‌های برآشش شده تعیین می‌شود سپس، نمودارهای سه‌بعدی پاسخ سطح رسم می‌شوند. برای تعیین اختلاف معنی‌دار بین داده‌ها از آنالیز ANOVA استفاده شد و تناسب مدل‌های چندجمله‌ای با ضریب تبیین R^2 بیان شد. معنی‌داری آماری تمامی اجزای مدل در سطوح احتمال (p) ۰/۰۰۱، ۰/۰۱ و ۰/۰۵ بررسی شد و در نهایت شرایط بهینه در هر روش استخراج تعیین شد.

گرفت. در روش اولتراسوند روش پاسخ سطح در ۳ سطح در مورد ۳ متغیر شامل (دما، زمان و غلظت استون به آب) به صورت کاملاً تصادفی انجام گرفت. طراحی در قالب طرح باکس بنکن (BBD)^۱ در ۱۷ مرحله مختلف و در سه سطح +۱، ۰، -۱- طراحی و انجام شد. در این آزمایش‌ها برای بهینه‌سازی استخراج ترکیبات آنتی‌اکسیدانی جلبک سبز انجام شد. محدوده و سطوح متغیرهای مستقل در هر دو روش مایکروویو و اولتراسوند به همراه مقادیر آن‌ها در جدول ۱ دیده می‌شود. همان‌طور که در جدول ۱ نشان داده شده است سه فاکتور مستقل منتخب به صورت X_1 ، X_2 ، X_3 کدگذاری شده‌اند. تمامی آزمایش‌ها در سه تکرار انجام گرفت و مقادیر میانگین بهمنزله پاسخ یا متغیر پیوسته در نظر گرفته شد. برای پیش‌بینی نقطه بهینه در هر پاسخ، مدلی چندجمله‌ای برای بیان روابط بین متغیرهای مستقل و پاسخ‌ها (میزان فنول کل، قدرت کاهندگی آهن، فعالیت جذب رادیکال آزاد و ظرفیت آنتی‌اکسیدانی کل) در نظر گرفته شد. برای سه فاکتور معادله چندجمله‌ای به صورت زیر است:

جدول ۱. متغیرهای مستقل و مقادیر آن‌ها در روش‌های استخراج میکروویو و اولتراسوند

اولتراسوند				میکروویو				طرح	
(غلظت استون به آب، %)	(دما، درجه سانتی‌گراد)	(زمان، دقیقه)	(غلظت استون به آب، %)	(زمان، دقیقه)	(سطح قدرت، وات)	(دما، درجه سانتی‌گراد)	(زمان، دقیقه)		
X_3	X_2	X_1	X_3	X_2	X_1	X_3	X_2		
۱۰۰	۶۰	۹۰	۱۰۰	۱۲	۶۰۰	+α			
۵۰	۴۵	۶۰	۷۵	۱۰	۵۰۰	+1			
۰	۳۰	۳۰	۵۰	۸	۴۰۰	۰			
			۲۵	۶	۳۰۰	-1			
			۰	۴	۲۰۰	-α			

1. Box-Behnken design

$$\begin{aligned} Y_{TAC} = & +0.13 + 0.002215x_1 + 0.0038x_2 - \\ & 0.045x_3 + 0.009352x_1x_3 + 0.004427x_2x_3 - \\ & 0.004336x_3^2 \end{aligned}$$

تأثیرات تخمینی هر یک از متغیرها به همراه آنالیز واریانس مدل‌ها در جدول ۴ قابل مشاهده است، اما نرم‌افزار برای اثبات کارایی و تناسب مدل ضریب تبیین (R^2)، ضریب تطابق‌یافته (Adj.R²) و ضریب Liyana-پیش‌بینی (pre.R²) را نیز ارائه می‌دهد (Liyana-Pathirana and Shahidi, 2005 واریانس ANOVA است. این مقادیر در واقع صحت مدل انتخاب شده برای پیش‌بینی پاسخ‌ها را مبنی بر مقادیر به دست آمده در شرایط واقعی توجیه می‌کند. در مورد ضرایب تبیین، مقادیری بالاتر از ۰/۸ بالا فرض شده‌اند که بستگی به شرایط آزمایش‌ها و میزان کنترل فرایند آزمایش‌ها دارد. ضرایب تبیین بالای ذکر شده برای هر پاسخ می‌تواند نشانه‌ای از توان و تناسب بالای مدل و نشان‌دهنده قابلیت پیش‌بینی پاسخ‌ها از طریق مدل باشد (Ballard et al., 2010). این ضرایب در ارتباط با هماند و مقادیر آن‌ها نیز باید به هم نزدیک باشد. همچنین، معنی‌داری مدل‌های انتخاب شده از نظر آماری به میزان p بستگی دارد و مدل‌هایی با میزان p کمتر نشان‌دهنده معنی‌داری بیشتر مدل به کار گرفته شده و پارامترهای دخیل در آن است. در این مطالعه میزان معنی‌داری تمامی مدل‌ها با مقادیر کمتر از ۰/۰۵ (۰/۰۰۰۱) نشان داد که سطح معنی‌داری رگرسیون بالاتر از ۹۵٪ است. تمامی این مقادیر در جدول ۴ آورده شده‌اند. همان‌طور که از جدول ۴ بر می‌آید، مقادیر تمامی ضرایب تبیین بالای ۹۰٪ به دست آمده است که معنی‌داری این رگرسیون‌ها را نشان می‌دهد.

۴. نتایج

۱.۴. بهینه‌سازی شرایط استخراج در روش استخراج مایکروویو و اولتراسوند

تعداد ۲۰ آزمایش برای بهینه‌سازی شاخص‌های مورد بررسی به صورت تصادفی انجام شد و مقادیر پاسخ‌ها در ترکیب‌های متفاوت آزمایشی در جدول ۲ نشان داده شده است. نتایج این آزمایش‌ها نیز در جدول ۲ نشان داده شده است.

مقادیر میزان فنول کل بین ۰/۰۲۸ تا ۱/۱ میلی‌گرم تانیک اسید/گرم پودر جلبک خشک شده بود. این مقادیر برای پاسخ‌های قدرت کاهنده‌گی آهن بین ۰/۰۵۴ تا ۰/۱۲ میلی‌گرم تانیک اسید/گرم پودر جلبک خشک شده و برای میزان جذب رادیکال آزاد DPPH بین ۶۱/۳۱ تا ۹۹/۵۴ درصد و در پاسخ ظرفیت آنتی‌اکسیدانی کل بین ۰/۰۲۱ تا ۰/۱۹ میلی‌گرم آسکوربیک اسید بر گرم پودر جلبک خشک شده به دست آمد. نرم‌افزار مدل‌های پیش‌بینی شده را به صورت معادلات رگرسیون حاصل از آنالیز واریانس (ANOVA) در مورد هر یک از پاسخ‌ها برای ما فراهم کرد که به صورت زیر است:

$$\begin{aligned} Y_{TPC} = & +0.81 + 0.026x_1 + 0.008188x_2 - \\ & 0.27x_3 + 0.022x_1x_2 + 0.053x_1x_3 + 0.025x_2x_3 - \\ & 0.015x_1^2 - 0.01x_2^2 - 0.071x_3^2 \end{aligned}$$

$$\begin{aligned} Y_{FRAP} = & +0.1 + 0.0042x_1 + 0.001234x_2 - 0.013x_3 \\ & + 0.008139x_1x_2 + 0.015x_1x_3 - 0.003469x_1^2 - \\ & 0.004448x_2^2 - 0.004814x_3^2 \end{aligned}$$

$$\begin{aligned} Y_{DPPH} = & +88.52 + 3.73x_1 + 2.44x_2 - 8.41x_3 - \\ & 0.43x_1x_2 + 1.41x_1x_3 + 1.46x_2x_3 + 7.30x_1^2 - 4.83x_2^2 - \\ & 2.59x_3^2 \end{aligned}$$

جدول ۲. طراحی آزمایشی متغیرهای مستقل و پاسخهای میزان فنول کل، فدرت کاهنده‌گی آهن، فعالیت جذب رادیکال آزاد (ارگانیک اسید) کل، فرود میکروبر (وات) و ایندکس اسناندارد بر اساس میانگین آزمایش (میکروبر)

طرح مرکب مرکزی در دوش استخراج میکروبر									
ردیف	شماره آزمایش	میکروبر (وات)	فاکتور ۱ قدرت	فاکتور ۲ زمان (دقیقه)	غلظت استون/آب)	پاسخ ۱ میزان فنول کل (TPC)	پاسخ ۲ کاهنده‌گی آهن (FRAP)	پاسخ ۳ فعالیت جذب رادیکال آزاد (DPPH)	(TAC) _c
۱	۳۰	(۱)	۲۵(-۱)	۱(-۱)	۱۷	۰.۹۵۱	۰.۸۰۵	۰.۸۶۹۷	۰.۸۸۰
۲	۳۱	(۰.۱)	۲۵(-۱)	۰(۱)	۱۴	۰.۹۸۴	۰.۹۰۹	۰.۹۰۷	۰.۸۹
۳	۳۲	(۰.۱)	۰(۱)	۰(۱)	۹	۰.۹۹۶	۰.۹۱۰	۰.۹۰۷	۰.۹۰۸
۴	۳۳	(۰.۱)	۰(۱)	۰(۱)	۵	۰.۹۹۵	۰.۹۱۰	۰.۹۰۷	۰.۹۰۸
۵	۳۴	(۰.۱)	۰(۱)	۰(۱)	۵	۰.۹۸۲	۰.۹۰۷	۰.۹۰۷	۰.۹۰۷
۶	۳۵	(۰.۱)	۰(۱)	۰(۱)	۶	۰.۹۶۳	۰.۸۰۹	۰.۸۰۹	۰.۸۰۹
۷	۳۶	(۰.۱)	۰(۱)	۰(۱)	۷	۰.۹۳۸	۰.۷۰۷	۰.۷۰۷	۰.۷۰۷
۸	۳۷	(۰.۱)	۰(۱)	۰(۱)	۸	۰.۹۳۸	۰.۷۰۷	۰.۷۰۷	۰.۷۰۷
۹	۳۸	(۰.۱)	۰(۱)	۰(۱)	۹	۰.۹۳۷	۰.۷۰۷	۰.۷۰۷	۰.۷۰۷
۱۰	۳۹	(۰.۱)	۰(۱)	۰(۱)	۱۰	۰.۹۳۷	۰.۷۰۷	۰.۷۰۷	۰.۷۰۷
۱۱	۴۰	(۰.۱)	۰(۱)	۰(۱)	۱۱	۰.۹۳۷	۰.۷۰۷	۰.۷۰۷	۰.۷۰۷
۱۲	۴۱	(۰.۱)	۰(۱)	۰(۱)	۱۲	۰.۹۳۷	۰.۷۰۷	۰.۷۰۷	۰.۷۰۷
۱۳	۴۲	(۰.۱)	۰(۱)	۰(۱)	۱۳	۰.۹۳۷	۰.۷۰۷	۰.۷۰۷	۰.۷۰۷
۱۴	۴۳	(۰.۱)	۰(۱)	۰(۱)	۱۴	۰.۹۳۷	۰.۷۰۷	۰.۷۰۷	۰.۷۰۷
۱۵	۴۴	(۰.۱)	۰(۱)	۰(۱)	۱۵	۰.۹۳۷	۰.۷۰۷	۰.۷۰۷	۰.۷۰۷
۱۶	۴۵	(۰.۱)	۰(۱)	۰(۱)	۱۶	۰.۹۳۷	۰.۷۰۷	۰.۷۰۷	۰.۷۰۷
۱۷	۴۶	(۰.۱)	۰(۱)	۰(۱)	۱۷	۰.۹۳۷	۰.۷۰۷	۰.۷۰۷	۰.۷۰۷
۱۸	۴۷	(۰.۱)	۰(۱)	۰(۱)	۱۸	۰.۹۳۷	۰.۷۰۷	۰.۷۰۷	۰.۷۰۷
۱۹	۴۸	(۰.۱)	۰(۱)	۰(۱)	۱۹	۰.۹۳۷	۰.۷۰۷	۰.۷۰۷	۰.۷۰۷
۲۰	۴۹	(۰.۱)	۰(۱)	۰(۱)	۲۰	۰.۹۳۷	۰.۷۰۷	۰.۷۰۷	۰.۷۰۷

۲۰: همه دادها بر اساس میانگین تاییک اسید بر گرم پور جلبک خشک شده بیان شده

۲۱: همه دادها بر اساس درصد جذب رادیکال آزاد بیان شده

۲۲: همه دادها بر اساس میانگین آسکوربیک اسید بر گرم پور جلبک خشک شده بیان شده

جدول ۳. طراحی آزمایشی متغیرهای مستقل و پاسخ‌های میزان فنول کل، قدرت کاهنده‌گی آهن، فعالیت جذب رادیکال آزاد و ظرفیت آنتی‌اکسیدانی کل
(طرح با کمیون بنکن در دوش استخراج اتوکلوف)

ردیف	دستاندارد	آزمایش	فاکتور ازمان (دقیقه)	فاکتور کدام (سانتی‌گراد)	استیون آب ^a	پاسخ ۲ تدریت کاهنده‌گی (TPC) ^a	پاسخ ۱ میزان فنول	پاسخ ۳ درصد غلظت (FRAP) ^a	پاسخ ۴ ظرفیت آنتی‌اکسیدانی کل (TAC) ^a	پاسخ ۵ فعالیت جذب رادیکال آزاد (DPPH) ^b	آهن (FRAP)	آهن (TAC)	
۱	۷	(-)(-)(-)	۰.۵۰	۰.۰	۰.۹۵	۰.۰	۰.۹۵	۰.۰	۰.۹۵	۰.۰	۰.۹۵	۰.۰	۰.۹۵
۲	۱۶	(+) (+)	۰.۳۰	۰.۰	۰.۹۶	۰.۰	۰.۹۶	۰.۰	۰.۹۶	۰.۰	۰.۹۶	۰.۰	۰.۹۶
۳	۱	(-) (-)	۰.۵۰	۰.۰	۰.۹۷	۰.۰	۰.۹۷	۰.۰	۰.۹۷	۰.۰	۰.۹۷	۰.۰	۰.۹۷
۴	۱۳	(+) (+)	۰.۴۰	۰.۰	۰.۹۷	۰.۰	۰.۹۷	۰.۰	۰.۹۷	۰.۰	۰.۹۷	۰.۰	۰.۹۷
۵	۱۴	(+) (+)	۰.۴۰	۰.۰	۰.۹۷	۰.۰	۰.۹۷	۰.۰	۰.۹۷	۰.۰	۰.۹۷	۰.۰	۰.۹۷
۶	۲	(+) (+)	۰.۴۰	۰.۰	۰.۹۷	۰.۰	۰.۹۷	۰.۰	۰.۹۷	۰.۰	۰.۹۷	۰.۰	۰.۹۷
۷	۲	(+) (+)	۰.۳۰	۰.۰	۰.۹۷	۰.۰	۰.۹۷	۰.۰	۰.۹۷	۰.۰	۰.۹۷	۰.۰	۰.۹۷
۸	۱	(+) (+)	۰.۳۰	۰.۰	۰.۹۷	۰.۰	۰.۹۷	۰.۰	۰.۹۷	۰.۰	۰.۹۷	۰.۰	۰.۹۷
۹	۲	(+) (+)	۰.۳۰	۰.۰	۰.۹۷	۰.۰	۰.۹۷	۰.۰	۰.۹۷	۰.۰	۰.۹۷	۰.۰	۰.۹۷
۱۰	۱	(+) (+)	۰.۳۰	۰.۰	۰.۹۷	۰.۰	۰.۹۷	۰.۰	۰.۹۷	۰.۰	۰.۹۷	۰.۰	۰.۹۷
۱۱	۱	(+) (+)	۰.۳۰	۰.۰	۰.۹۷	۰.۰	۰.۹۷	۰.۰	۰.۹۷	۰.۰	۰.۹۷	۰.۰	۰.۹۷
۱۲	۱	(+) (+)	۰.۳۰	۰.۰	۰.۹۷	۰.۰	۰.۹۷	۰.۰	۰.۹۷	۰.۰	۰.۹۷	۰.۰	۰.۹۷
۱۳	۱	(+) (+)	۰.۳۰	۰.۰	۰.۹۷	۰.۰	۰.۹۷	۰.۰	۰.۹۷	۰.۰	۰.۹۷	۰.۰	۰.۹۷
۱۴	۱	(+) (+)	۰.۳۰	۰.۰	۰.۹۷	۰.۰	۰.۹۷	۰.۰	۰.۹۷	۰.۰	۰.۹۷	۰.۰	۰.۹۷
۱۵	۱	(+) (+)	۰.۳۰	۰.۰	۰.۹۷	۰.۰	۰.۹۷	۰.۰	۰.۹۷	۰.۰	۰.۹۷	۰.۰	۰.۹۷
۱۶	۱	(+) (+)	۰.۳۰	۰.۰	۰.۹۷	۰.۰	۰.۹۷	۰.۰	۰.۹۷	۰.۰	۰.۹۷	۰.۰	۰.۹۷
۱۷	۱	(+) (+)	۰.۳۰	۰.۰	۰.۹۷	۰.۰	۰.۹۷	۰.۰	۰.۹۷	۰.۰	۰.۹۷	۰.۰	۰.۹۷

۳: همه داده‌ها بر اساس میانگین تأثیرگذار جلبکی خشک شده بیان شده

۴: همه داده‌ها بر اساس درصد جذب رادیکال آزاد بیان شده

۵: همه داده‌ها بر اساس میانگین آسکوریک اسید بر گرم پودر جلبکی خشک شده بیان شده

جدول ۴. نتایج آنالیز واریانس برای متغیرهای مستقل در روش استخراج میکروویو

پاسخ‌ها

ضرایب	میزان فنول کل	قدرت کاهندگی آهن DPPH	جذب رادیکال	ظرفیت آنتی‌اکسیدانی کل	
عرض از مبدأ					
(power) X_1	۰/۸۱	۰/۱۱	<۰/۰۰۰۱	۰/۴۵۲۹	۰/۱۳
(Time) X_2	۰/۴۰۴۷	۰/۴۰۹۲	<۰/۰۰۰۱	۰/۲۰۶۸	۰/۴۵۲۹
(Ac:H ₂ O Ratio) X_3	<۰/۰۰۰۱	<۰/۰۰۰۱	<۰/۰۰۰۱	<۰/۰۰۰۱	<۰/۰۰۰۱
X_1^2	۰/۱۳۳۱	۰/۰۱۱۶	<۰/۰۰۰۱		
X_2^2	۰/۰۰۲۷	۰/۰۰۲۶			
X_3^2	۰/۰۹۱۷	۰/۰۰۱۵			۰/۰۶۹۹
$X_1 X_2$	۰/۰۶۷۵	۰/۰۰۲۱			۰/۰۳۸
$X_1 X_3$	۰/۱۹۳۹	۰/۰۰۳۹			۰/۰۳۹
$X_2 X_3$		<۰/۰۰۰۱			۰/۲۹۴
مدل	<۰/۰۰۰۱	<۰/۰۰۰۱	<۰/۰۰۰۱	<۰/۰۰۰۱	
مقادیر عدم برازش	۰/۰۸۶۴ ns	۰/۸۳۳۲ ns	۰/۹۸۰۱ ns	۰/۹۹۰۱ ns	۰/۹۵
ضرایب تبیین	۰/۹۸	۰/۹۴	۰/۹۹		۰/۹۳
ضرایب تطابق یافته	۰/۹۷	۰/۹	۰/۹۹		۰/۹۱
ضرایب پیش‌بینی شده	۰/۹۲	۰/۸۳	۰/۹۹		۹/۱۳
انحراف معیار (%)	۵/۱۵	۶/۲۹	۱/۱۷		

شاخص‌های اولیه تأثیرگذار در میزان پاسخ‌های مختلف در ۱۷ آزمایش به صورت مجزا و در ۳ تکرار انجام پذیرفت. تمامی اطلاعات اولیه این آزمایش‌ها به صورت کدشده و کدنشده به همراه مقادیر واقعی به دست آمده در مورد هر ۴ پاسخ مورد نظر در جدول ۳ آمده است. مقادیر میزان فنول کل بین ۰/۰۹۶ تا ۱/۰۹ میلی‌گرم تانیک اسید/گرم پودر جلبک خشک شده بود. این مقادیر برای پاسخ‌های قدرت کاهندگی آهن بین ۰/۰۴۵ تا ۰/۰۹ میلی‌گرم تانیک اسید/گرم پودر جلبک خشک شده و برای میزان جذب رادیکال آزاد DPPH بین ۹۹/۶ تا ۱۷/۷۹ درصد و در پاسخ ظرفیت آنتی‌اکسیدانی کل بین ۰/۰۵۱ تا ۰/۰۲۱ میلی‌گرم آسکوربیک اسید بر گرم پودر جلبک خشک شده به دست آمد. معادلات

علاوه بر این، مقادیر ضرایب تبیین تطابق‌یافته و ضرایب تبیین پیش‌بینی نیز با مقادیر بالای ۹۰٪ در توافقی منطقی با ضریب تبیین قرار دارند و این نشان می‌دهد که آزمایش‌ها و نیز مدل‌های منتخب برای آنالیز داده‌ها و پیش‌بینی شرایط بهینه روند درستی را دنبال کرده‌اند. از طرف دیگر، مقادیر پایین انحراف معیار شاهدی دیگر بر این معناست و تکرار پذیری مدل‌ها را نشان می‌دهد. ضمن این‌که نبود معنی‌داری مقادیر نبود برازش تأیید اعتبار مدل‌هاست (shahidi and Wanasyndara, 1996). بنابراین، این نتایج نشان می‌دهد که این مدل‌ها برای پیش‌بینی شرایط بهینه استخراج عصاره آنتی‌اکسیدانی از جلبک *C. sp* به خوبی عمل خواهند کرد. در روش اولتراسوند نیز آزمایش‌های بهینه‌سازی

$11.46x_1x_2 - 3.64x_1x_3$
 $Y_{TAC} = +0.098 + 0.015x_1 + 0.00452x_2 -$
 $0.045x_3 + 0.011x_1x_2 - 0.014x_1x_3 - 0.03x_2x_3 -$
 $0.013x_1^2 + 0.024x_2^2 + 0.016x_3^2$

در این معادلات Y نشان‌دهنده پاسخ، x_i و x_j تأثیرات خطی، $x_i x_j$ تأثیرات مجزد و $x_i x_j x_k$ تأثیرات برهم‌کنش است. همان‌طور که از جدول ۵ بر می‌آید، تأثیرات تخمینی هر یک از فاکتورهای اولیه و آنالیز واریانس داده‌ها در مدل‌های منتخب در مورد هر یک از پاسخ‌ها به صورت مجزا آورده شده است که مقادیر کمتر از ۰/۰۵ نشان‌دهنده تأثیرات معنی‌دار این فاکتورهای است.

رگرسیون حاصل از آنالیز واریانس (ANOVA) در مورد هر یک از پاسخ‌ها با نرم‌افزار حاصل از تجزیه و تحلیل داده‌ها به دست آمد. این معادلات در واقع به ما امکان پیش‌بینی و تخمین میزان تأثیرات هر یک از سه متغیر اولیه را در پاسخ‌ها می‌دهد که به صورت زیر است:

$$Y_{TPC} = +0.67 + 0.026x_1 + 0.03x_2 - 0.43x_3 - 0.039x_1x_3 + 0.046x_2x_3 - 0.025x_2^2 - 0.12x_3^2$$

$$Y_{FRAP} = +0.07 + 0.003952x_1 + 0.003415x_2 - 0.011x_3 + 0.002284x_1x_2 - 0.0007788x_1x_3 + 0.012x_2x_3 - 0.004591x_1^2 + 0.002961x_2^2 - 0.002128x_3^2$$

$$Y_{DPPH} = +62.39 - 5.74x_1 - 0.78x_2 - 37.78x_3 -$$

جدول ۵. نتایج آنالیز واریانس برای متغیرهای مستقل در روش استخراج اولتراسوند

ضرایب	میزان فنول کل	قدرت کاهندگی آهن	جذب رادیکال	DPPH	ظرفیت آنتی‌اکسیدانی کل	پاسخ‌ها
عرض از مبدأ	۰/۶۷	۰/۰۷	۶۲/۳۹	۰/۰۹۸		
(Time) X_1	۰/۱۰۶۱	۰/۰۰۰۳	۰/۰۰۱۷	۰/۰۰۰۴		
(Tempreture) X_2	۰/۰۷۳۹	۰/۰۰۰۶	۰/۵۸۸۶	۰/۱۰۵۶		
(Ac:H ₂ O Ratio) X_3	۰/۰۰۰۱	۰/۰۰۰۱	<۰/۰۰۰۱	<۰/۰۰۰۱		
X_1^2	۰/۰۰۰۷			۰/۰۰۵۸		
X_2^2	۰/۲۵۰۸	۰/۰۰۷۹		۰/۰۰۰۲		
X_3^2	۰/۰۰۰۲	۰/۰۳۳۳		۰/۰۰۱۸		
X_1X_2	۰/۰۹۰۶	۰/۰۲۷۹	<۰/۰۰۰۱	۰/۰۱۲۴		
X_1X_3	۰/۳۷۷۳	۰/۰۹۱۶	۰/۰۰۰۷	۰/۰۰۰۷		
X_2X_3	۰/۰۵۴۹	<۰/۰۰۰۱		<۰/۰۰۰۱		
مدل	<۰/۰۰۰۱	<۰/۰۰۰۱	<۰/۰۰۰۱	<۰/۰۰۰۱		
مقادیر عدم برازش	۰/۲۶۲۲ ns	۰/۸۴۶۴ ns	۰/۴۵۳۸ ns	۰/۴۵۳۸ ns		
ضرایب تبیین	۰/۹۹	۰/۹۹	۰/۹۸	۰/۹۸		
ضرایب تطابق یافته	۰/۹۸	۰/۹۷	۰/۹۸	۰/۹۷		
ضرایب پیش‌بینی شده	۰/۹۳	۰/۹۶	۰/۹۶	۰/۸۶		
انحراف معیار (%)	۶/۹۲	۲/۴۱	۶/۳۱	۶/۱۹		

گرفته شود و شانس رسیدن به بهینه‌سازی‌ای درست را بسیار غیر محتمل کند (Liyana-Pathirana and Shahidi, 2005). به این دلیل RSM یا روش پاسخ سطح، ضمن این‌که ارزیابی تأثیرات چندین متغیر فرایند و برهم‌کنش آن‌ها را به طور هم‌زمان ممکن می‌کند، با داشتن مزایایی نسبت به بهینه‌سازی تک‌فاکتوری باعث صرفه‌جویی در زمان نیز می‌شود (Wang et al., 2010).

۱.۵. تأثیر متغیرهای فرایند

نمودارهای سه‌بعدی پاسخ سطح در واقع به شکل واضح‌تری روند تأثیر متغیرهای مستقل را در پاسخ‌های مختلف و نتایج استخراج نشان می‌دهند. این نمودارها در فضای سه‌بعدی تأثیر هم‌زمان دو متغیر را برای مثال در میزان فنول کل نشان می‌دهند. بالاترین نقطه سطح استخراج بهینه و مطلوب را نشان می‌دهد و مقادیر مربوط به هر یک از متغیرها از محورهای x و y قابل استنباط خواهد بود (Li et al., 2011). در شکل ۱ (a-f) تأثیر شاخص‌های اولیه قدرت، زمان و غلظت حلال استون در میزان پاسخ‌های میزان فنول کل، قدرت کاهندگی آهن، فعالیت جذب رادیکال DPPH و ظرفیت آنتی‌اکسیدانی کل نشان داده شده است. بر اساس آنالیزهای صورت گرفته مبتنی بر نتایج و داده‌های جدول ۴، درصد غلظت استون به آب به منزله حلال استخراج با مقادیر $0.001 < p < 0.001$ تأثیر اصلی را در تمامی پاسخ‌های مذکور داشته است. نمودار پاسخ سطح در شکل ۱a نشان می‌دهد که با افزایش درصد استون به آب و افزایش میزان سطح قدرت از میزان پاسخ یعنی میزان فنول کل کاسته شده است. بر اساس نمودار، بیشترین میزان پاسخ در مقادیر کمتر

ضرایب رگرسیون شامل عرض از مبدأ، تأثیرات خطی، مجدد و برهم‌کنش اجزای مدل‌ها در هر یک از پاسخ‌ها از طریق آنالیز داده‌ها در آزمایشگاه انجام شد. آنالیز آماری معنی‌داری بسیار بالای تمامی مدل‌ها را با مقادیر کمتر از ۰.۰۰۰۱ و سطح معنی‌داری رگرسیون را تا میزان بالاتر از ۹۵٪ نشان داد. این مقادیر سپس با نرم‌افزار به صورت مدل تجربی چندجمله‌ای درجه دوم برای پیش‌بینی شرایط بهینه ارائه شد. در مورد روش استخراج اولتراسوند نیز مقادیر تمامی ضرایب تبیین بالای ۹۰٪ به دست آمد که معنی‌داری این رگرسیون‌ها را نشان می‌دهد. مقادیر ضرایب تبیین تطابق‌یافته و ضرایب تبیین پیش‌بینی دارای مقادیر بالای ۹۰٪ در توافقی منطقی با ضریب تبیین بودند و صحت آزمایش‌ها و نیز مدل‌های منتخب را برای آنالیز داده‌ها و پیش‌بینی شرایط بهینه اثبات کرد.

۵. بحث

به طور معمول روش‌های پاسخ سطح ممکن است نوعی سردرگمی در آنالیز داده‌ها ایجاد کنند، مگر این‌که با داشتن مقادیر بالای ضرایب تبیین در مورد مدل‌ها، تناسب خود را نشان دهنده و این الزام بررسی میزان کارایی و تناسب مدل را به وجود می‌آورد (Zhang et al., 2011). بهینه‌سازی فرایند از طریق هر دو روش تجربی و آماری قابل دستیابی است. در گذشته رسیدن به بهینه‌سازی کامل محدودیت‌ها و هزینه زمانی بالایی داشت. علاوه بر این، باعث افزایش تعداد آزمایش‌های لازم، افزایش مصرف حلال و مواد شیمیایی می‌شد و گاه ممکن بود برهم‌کنش بین عوامل تأثیرگذار در آزمایش نیز نادیده

است و انتشار آنتی‌اکسیدان‌ها از ماتریکس نمونه به حلال اطرافش با افزایش زمان استخراج افزایش پیدا کرد (Krishnaswamy et al., 2012). در شکل ۱c میزان فعالیت کاهندگی آهن با افزایش غلظت استون کاهش پیدا کرد. احتمالاً زمانی که غلظت حلال افزایش یافت، قطیبت حلال تغییر پیدا کرد که منجر به افزایش نرخ استخراج ناخالصی شد و در نهایت ویژگی‌های آنتی‌اکسیدانی عصاره را تحت تأثیر قرار داد و حتی فعالیت کاهندگی را کاهش داد. همچنین، انعقاد پروتئین‌ها ممکن است باعث افزایش مقاومت در برابر انتشار مواد به داخل حلال و منجر به میزان پایین فعالیت کاهندگی ترکیبات فنولی شود (Li et al., 2012). همچنین، حرکت ترکیبات فعال از سویسترا ممکن است تا به سطح دمایی خاصی اتفاق بیفتد که احتمالاً به دلیل کاهش و تخریب این ترکیبات در دماهای بالاتر است و در زمان‌های طولانی‌تر ممکن است به دلیل تخریب ترکیبات فنولی فعالیت آنتی‌اکسیدانی کاهش پیدا کند (Liyana-Pathirana and Shahidi, 2005). بر اساس داده‌های جدول ۴، زمان در میزان فعالیت کاهندگی تأثیر معنی‌دار داشته است، اما معنی‌دارترین تأثیر در میزان غلظت استون به آب ($p < 0.001$) مشاهده شد. تأثیرات فاکتورهای اولیه قدرت، زمان و میزان غلظت استون به آب در شکل‌های (d-e) ۱ نشان داده شده است. بر اساس آنالیز واریانس در جدول ۴، تأثیر خطی و مجذور هر یک از این سه متغیر بسیار معنی‌دار بوده است. در نمودار ۱d با افزایش زیاد زمان کاهش میزان پاسخ را داریم، زیرا طولانی شدن بیش از حد زمان استخراج ممکن است به تخریب ترکیبات هدف منجر شود. با افزایش قدرت و کاهش

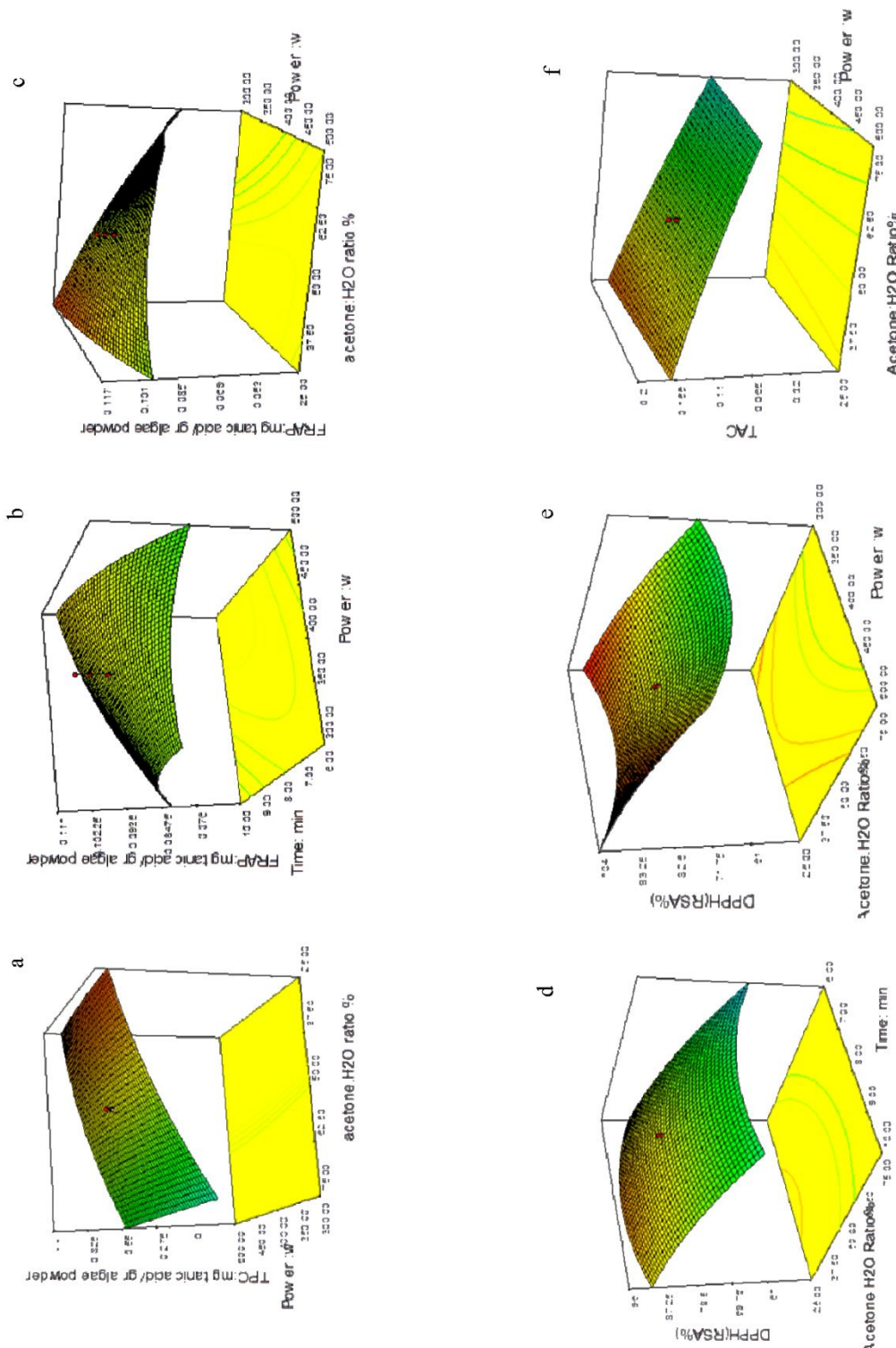
استون مشاهده می‌شود. با تغییر در غلظت حلال، که ناشی از ترکیب با درصدهای مختلف از آب است، احتمالاً تغییر در قطیبت حلال ایجاد می‌شود و در نتیجه استخراج ترکیبات فنولی با کاهش نسبت مقدار حلال به آب و در نتیجه میزان قطیبت افزایش می‌یابد و بازده استخراج ترکیبات فنولی را افزایش می‌دهد. علاوه بر این، قطیبت حلال می‌تواند ترکیب ترکیبات فنولی استخراج شده را تحت تأثیر قرار دهد (Tabaraki and Nateghi, 2011) زمانی که نمونه‌های خشک‌شده در معرض امواج مایکروویو قرار می‌گیرند، اندک رطوبت موجود تبخیر می‌شود که فشاری فراینده را درون سلول‌ها ایجاد می‌کند و این فشار موجب تخریب دیواره می‌شود و در نهایت انتشار ترکیبات زیست‌فعال را به درون حلال استخراج به همراه دارد. این مهم موجب ارتقای بازده استخراج ترکیبات فنولی می‌شود (Ballard et al., 2010). در این میان، زمان نسبت به غلظت استون تأثیر کمتری در پاسخ دارد و نمودار با افزایش درصد استون به آب دارای کاهش در میزان پاسخ است. شکل ۱b تأثیر هم‌زمان زمان و قدرت را در قدرت کاهندگی نشان می‌دهد. همان‌طور که از نمودار استنباط می‌شود، هم‌زمان با افزایش میزان قدرت مایکروویو و افزایش زمان استخراج، میزان قدرت کاهندگی عصاره استخراج شده افزایش یافته است. احتمالاً در دما و قدرت پایین‌تر کاهش در نرخ انتقال جرم را خواهیم داشت و همین باعث می‌شود که به زمان‌های طولانی‌تری برای اتحلال ترکیبات فنولی درون حلال استخراج نیاز باشد.

قدرت مایکروویو، حلال و زمان استخراج و تأثیر هم‌زمان این فاکتورها تأثیر معنی‌داری در میزان فعالیت آنتی‌اکسیدانی شامل DPPH و FRAP داشته

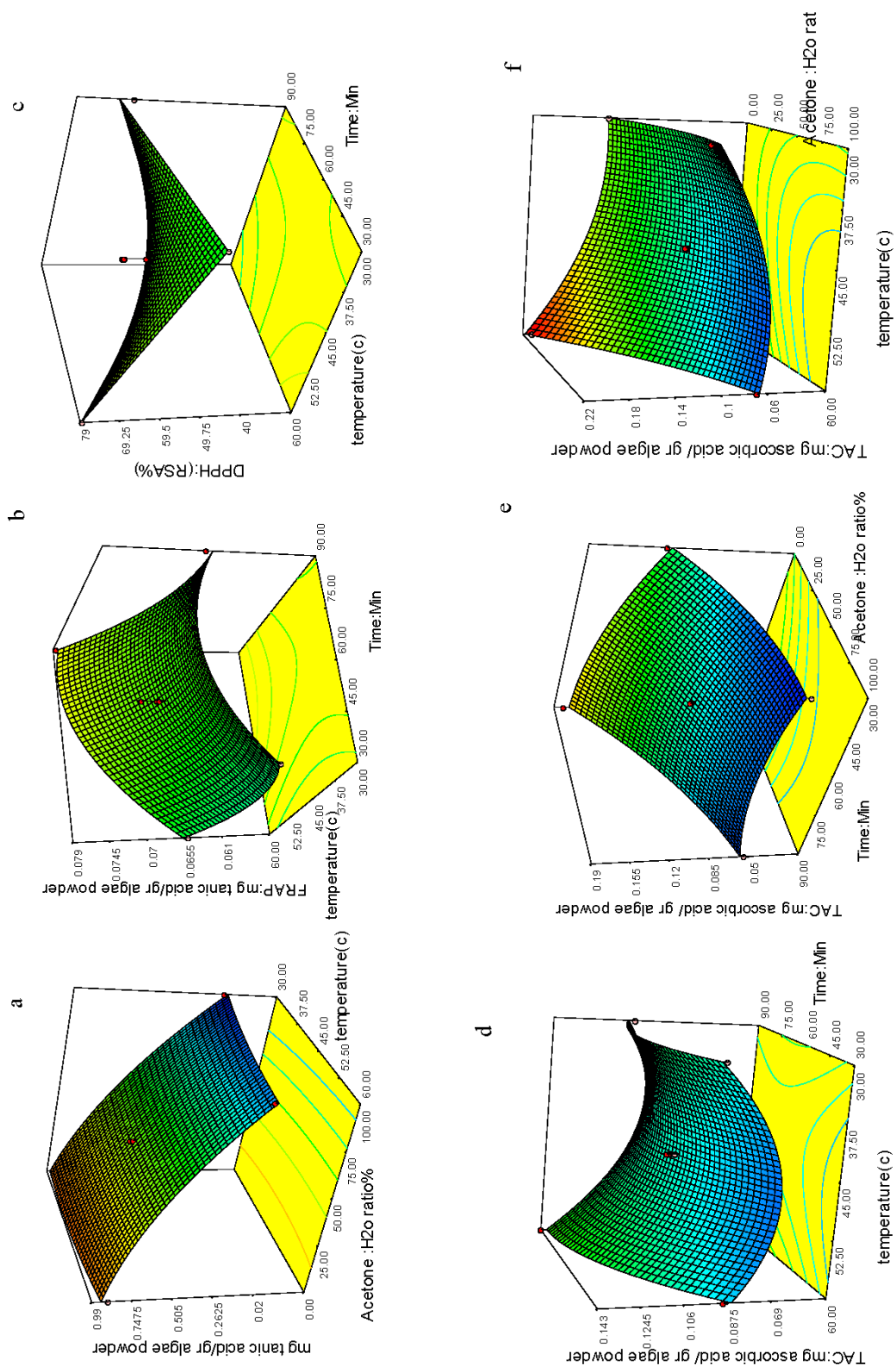
واقع حرارت ملایم ممکن است باعث نرم شدن بافت‌های گیاهی شود و مقاومت دیواره سلولی را ضعیف کند و منجر به هیدرولیز پیوندهای بین ترکیبات فنولی و اجزای سلولی (فنول-پروتئین یا فنول-پلی‌ساقارید) شود و در نهایت حلالیت ترکیبات فنولی را افزایش دهد و منجر به استخراج بیشتر ترکیبات فنولی شود (Tabaraki and Nateghi, 2011). افزایش دما نیز حلالیت ترکیبات هدف، سرعت نفوذ حلال و انتقال توده را افزایش می‌دهد؛ این در حالی است که ویسکوزیته حلال و کشش سطحی را کاهش می‌دهد. این کاهش ویسکوزیته باعث نفوذ بیشتر حلال به داخل ماتریکس نمونه می‌شود و استخراج ترکیبات فنولی را از طریق افزایش مناطق رویارویی نمونه با حلال افزایش می‌دهد (Hossain et al., 2011). در مطالعه (Zhang et al., 2011) درباره بهینه‌سازی استخراج اولتراسوئیک ترکیبات *Prunella vulgaris*، استخراج ترکیبات فنولی با افزایش دما افزایش یافت که آن را ناشی از تأثیری دانسته‌اند که افزایش درجه حرارت در افزایش انتقال جرم داشته است. شکل ۲b تأثیر هم‌زمان دو متغیر دما و زمان را در میزان فعالیت کاهنده‌گی آهن نشان می‌دهد. افزایش دما و زمان باعث افزایش میزان پاسخ قدرت کاهنده‌گی آهن شد. ممکن است افزایش زمان باعث شود که ترکیبات آنتی‌اکسیدانی فرصت انجام در حلال استخراج را داشته باشد. همچنین، با افزایش زمان به سلول‌های گیاهی فرصت کافی داده خواهد شد تا در مواجهه با امواج اولتراسوند به طور کامل تخریب و ترکیبات سلولی وارد حلال استخراج شوند (Wang et al., 2012).

درصد استون به آب، بیشترین میزان پاسخ فعالیت جذب رادیکال آزاد DPPH مشاهده می‌شود. بر اساس نمودارها قدرت در مقایسه با غلظت استون به آب تأثیر کمتری داشته و بیشترین پاسخ در قدرت‌های کمتر و درصدهای پایین استون به آب دیده می‌شود. از شکل ۱f مشخص می‌شود که سطح قدرت تأثیر معنی‌داری در میزان پاسخ ظرفیت آنتی‌اکسیدانی کل نداشته، اما کاهش غلظت استون به آب با بیشترین میزان پاسخ ظرفیت آنتی‌اکسیدانی کل همراه شده است. همچنین، سطح معنی‌داری فاکتورهای اولیه (جدول ۴) نشان می‌دهد که دو عامل قدرت و زمان تأثیر به نسبت کمتری را در مقایسه با غلظت حلال استخراج داشته‌اند. ترکیبات حلال نقشی اساسی در استخراج مواد جامد از تولیدات طبیعی بازی می‌کند. ترکیبات مختلف حلال می‌توانند منجر به تفاوت‌هایی در پروفایل ترکیبات فنولی و در نهایت منجر به تفاوت در فعالیت آنتی‌اکسیدانی عصاره‌ها شوند (Li et al., 2012). زمانی که قطبیت حلال تغییر پیدا کند می‌تواند منجر به استخراج ناخالصی‌های بیشتر و کاهش فعالیت آنتی‌اکسیدانی شود (Huang et al., 2009).

بهترین راه برای بررسی میزان تأثیر متغیرهای مستقل در پاسخ‌ها در روش اولتراسوند نیز کمک گرفتن از نمودارهای سه‌بعدی پاسخ سطح است. شکل‌های (a-g) ۲a تأثیر متغیرهای اولیه دما و میزان می‌دهد. شکل ۲b تأثیر متغیرهای اولیه دما و میزان غلظت استون به آب را در میزان ترکیبات فنولی نشان می‌دهد. همان طور که از نمودار مشخص است، کاهش درصد استون به آب و افزایش دمای استخراج باعث بیشترین میزان پاسخ فنول کل شده است. در



شکل ۱. نمودارهای پاسخ سطح متغیرهای وابسته میزان فتوول کل، قدرت کاهندگی آهن، فعالیت جذب رادیکال آزاد و ظرفیت آنتی‌اکسیدانی کل در روش استخراج میکروویو.



شکل ۲. نمودارهای پاسخ سطح متغیرهای ولسته میزان فول کل، قدرت کاهنگی آهن، فعالیت جذب رادیکال آزاد و خرفت انتی اکسیدانی کل در روش استخراج اوتراسوند.

افزایش دما حلالیت و ضریب نفوذپذیری را در استخراج به کمک اولتراسوند افزایش می‌دهد (Ghafoor et al., 2009). از سوی دیگر، مقادیر مناسبی آب در حلال می‌تواند به افزایش بازده استخراج کمک کند، چون آب به افزایش حالت آبدار شدن مواد گیاهی کمک می‌کند و این به افزایش مناطق تماس حلال و نمونه منجر خواهد شد (Huang et al., 2009).

۲.۵ آزمایش‌های اعتبارسنجی

به منظور اثبات و اعتبارسنجی مدل‌ها، شرایط بهینه‌ای با نرم‌افزار ارائه می‌شود که بر اساس فاکتور مطلوبیت است. این شرایط بهینه با مقدار مطلوبیت بالا تضمینی برای قابلیت پیش‌بینی مدل‌های است. در نهایت، به منظور یافتن نقاط بهینه از مجموع تأثیرات متغیرهای اولیه در میزان پاسخ‌ها، نرم‌افزار بر اساس میزان درستی عملکرد مدل‌های به کاررفته در پاسخ‌ها نقاط بهینه‌ای را پیش‌بینی می‌کند که این مقادیر لزوماً باید در شرایط آزمایشگاهی بررسی شوند. اختلاف کم بین داده‌های پیش‌بینی شده از طریق نرم‌افزار و داده‌های به دست آمده در شرایط واقعی درستی عملکرد ما را در آزمایش‌های انجام شده تأیید می‌کند. از جمله اولویت‌های ما برای شرایط بهینه محدودیت‌های دما و زمان بود که به دلیل کاهش سطح مصرف انرژی و احتمال تجزیه ترکیبات هدف در دماهای بالا و زمان‌های طولانی سطح کمینه، نسبت درصد استون به دلیل مسائل محیط‌زیستی، بحث هزینه و استفاده کمتر از حلال‌های آلی (silvia et al., 2007) به میزان حداقل در نظر گرفته شد. اگرچه افزایش سطوح زمان

افزایش دما نیز معمولاً با افزایش نرخ انتقال مواد از ماتریکس نمونه به حلال همراه است. در مطالعه et Tabaraki al., (2012) درباره استخراج به کمک اولتراسوند ترکیبات آنتی‌اکسیدانی، نتایج مشابهی ارائه شد مبنی بر این که هر دو عامل زمان و دما دارای تأثیر در فعالیت آنتی‌اکسیدانی به‌ویژه فعالیت قدرت کاهنده‌گی عصاره بوده‌اند. تأثیر برهم‌کنش دو فاکتور دما و زمان در میزان فعالیت جذب رادیکال DPPH در شکل ۲c آورده شده است. این آزمایش به طور گسترده‌ای برای بررسی فعالیت آنتی‌اکسیدانی به کار می‌رود. در این آزمون آنتی‌اکسیدان قادر به کاهش رادیکال پایدار DPPH به دی‌فنیل پیکرازیل هیدروژن آن زردرنگ است و این به توانایی اهدای هیدروژن آن مربوط است (Zhang et al., 2011). افزایش دما و کاهش زمان باعث افزایش جذب رادیکال آزاد شده است. بنابراین، بیشترین میزان جذب رادیکال آزاد در زمان کمتر و دمای بیشتر مشاهده شد. در واقع می‌توان چنین استنباط کرد هنگامی که زمان استخراج طولانی شود، احتمالاً می‌تواند منجر به تجزیه شیمیایی ترکیبات هدف در عصاره شود (Huang et al., 2009). بر اساس شکل ۲d افزایش دما باعث افزایش پاسخ شده است. در شکل ۲e استون در نسبت‌های کمتر و زمان بیشتر باعث افزایش پاسخ سطح شده است. افزایش زمان استخراج ممکن است نفوذ ترکیبات هدف را به حلال استخراج افزایش دهد (Ghafoor et al., 2009). بیشترین میزان پاسخ در دماهای بالاتر و غلظت کمتر استون به آب مشاهده شد (شکل ۲f). نمودار نشان می‌دهد که استون فاکتور به نسبت معنی‌دارتری نسبت به دما بوده است.

از طریق نرم افزار بهمنزله شرایط بهینه پیش بینی شد و آنچه در شرایط آزمایشگاهی به دست آمد مشخص کرد که اختلاف کم بین داده های پیش بینی شده و مقادیر واقعی در آزمایشگاه صحت آزمایش ها و شرایط بهینه سازی را نشان می دهد و اثبات می کند که روش پاسخ سطح به درستی برای بهینه سازی شرایط به کار گرفته شده است.

و دما باعث استخراج بیشتر پلی فنول های آنتی اکسیدانی می شود، اما این روش های نوین و دوستدار محیط زیست باید تا حد امکان حداقل دما و Hossain et al., (2011) و Ghafoor et al. (2009) مصرف حلال را کاهش دهند (2009). بنابراین، این متغیرها در حد پایین نگاه داشته شد. بر اساس اطلاعات جدول ۶، مقادیری که

جدول ۶. شرایط بهینه استخراج ترکیبات آنتی اکسیدانی در روش های استخراج میکروویو و اولتراسوند

متغیرهای مستقل	روش استخراج میکروویو شد	مقادیر پیش بینی شد	مقادیر واقعی
سطح قدرت زمان	میزان فنول کل قدرت کاهندگی آهن فعالیت جذب DPPH رادیکال	۱/۰۲ ۰/۱۲ ۹۹/۱۷	۰/۹۸ ۰/۰۸۶ ۹۹/۳۸
درصد استون به آب	۳۰۰ و ات ۴۸ دقیقه	۰٪	۰/۱۶
زمان دما	۲۵٪	۰/۱۸	ظرفیت آنتی اکسیدانی کل روش استخراج اولتراسوند
درصد استون به آب	۳۰ دقیقه ۵۳ دقیقه	۰/۹ ۰/۰۸	۰/۹۰ ۰/۰۷۸
زمان دما	۰٪	۹۱/۵۹	۹۸/۸۳
درصد استون به آب	۰٪	۰/۱۲	۰/۱۲
ظرفیت آنتی اکسیدانی کل			

زمان استخراج ۸؛ نسبت غلظت استون به آب ۲۵٪ و در روش اولتراسوند؛ زمان استخراج ۳۰؛ دمای استخراج ۳۰٪؛ نسبت غلظت استون به آب ۰٪. تناسب بالای مدل ها نشان داد که مدل چند جمله ای درجه دوم می تواند برای بهینه سازی استخراج ترکیبات فنولی و آنتی اکسیدانی از جلبک سبز به منظور ارتقای فعالیت آنتی اکسیدانی به کار

۶. نتیجه گیری

استخراج ترکیبات آنتی اکسیدانی به کمک روش های مایکروویو و اولتراسوند از جلبک سبز *Chaetomorpha sp* با روش پاسخ سطح بهینه سازی شد. شرایط استخراج بهینه در روش های مذکور به صورت زیر است:

در روش مایکروویو: قدرت مایکروویو ۳۰۰

همچنین، نتایج نشان داد که جلبک سبز دارای خاصیت آنتی‌اکسیدانی است و این مهم پتانسیلی برای بررسی کاربرد آن‌ها به منزله محصولاتی با ارزش افزوده در صنعت غذا و دارو است. اطلاعات به‌دست‌آمده از این مطالعه می‌تواند در بهره‌برداری از گیاهان دریایی و افزایش بهره‌وری در فعالیت‌های شیلاتی کشور به کار رود.

رود که با بهینه‌سازی شرایط امکان حصول بیشترین محصول را همراه با کاهش در مصرف انرژی، حلال، هزینه و زمان داشت. ضمن این‌که روش‌های استخراج مایکروویو و اولتراسوند به منزله فناوری‌های جدید دوستدار محیط‌زیست مطرح می‌شوند؛ روش‌هایی که مطالعات بیشتر بر نقاط ضعف آن‌ها می‌تواند با کاهش هزینه‌های استخراج به گیرینه‌های جانشین روش‌های مرسوم و سنتی منجر شود.

References

- [1]. Ballard, T.S., Mallikarjunan, P., Zhou, K., O'Keefe, S., 2010. Microwave-assisted extraction of phenolic antioxidant compounds from peanut skins. *Food Chemistry* 120, 1185-1192.
- [2]. Ballard, T.S., Mallikarjunan, P., Zhou, K., O'Keefe, S.F., 2009. Optimizing the Extraction of Phenolic Antioxidants from Peanut Skins Using Response Surface Methodology. *Journal of Agricultural and Food Chemistry* 57, 3064-3072.
- [3]. Brand-Williams, W., Cuvelier, M.E., Berset, C., 1995. Use of a free radical method to evaluate antioxidant activity. *LWT - Food Science and Technology* 28, 25-30.
- [4]. Camel, V., 2000. Microwave-assisted solvent extraction of environmental samples. *TrAC Trends in Analytical Chemistry* 19, 229-248.
- [5]. Chemat, F., Zill e, H., Khan, M.K., 2011. Applications of ultrasound in food technology: Processing, preservation and extraction. *Ultrasonics Sonochemistry* 18, 813-835.
- [6]. Chew, Y.L., Lim, Y.Y., Omar, M., Khoo, K.S., 2008. Antioxidant activity of three edible seaweeds from two areas in South East Asia. *LWT - Food Science and Technology* 41, 1067-1072.
- [7]. Ghafoor, K., Ju Y. J., Jo, In. Hee., 2009. Optimization of Ultrasound-Assisted Extraction of Phenolic Compounds, Antioxidants, and Anthocyanins from Grape (*Vitis vinifera*) Seeds. *Journal of Agriculture and Food Chemistry* 57, 4988–4994.
- [8]. Hossain, M.B., Brunton, N.P., Patras, A., Tiwari, B., O'Donnell, C., Martin-Diana, A.B., Barry-Ryan, C., 2011. Optimization of ultrasound assisted extraction of antioxidant compounds from Marjoram (*Origanum majorana*) using response surface methodology. *Ultrasonics sonochemistry*.
- [9]. Huang, W., Xue, A., Niu, H., Jia, Z., Wang, J., 2009. Optimised ultrasonic-assisted extraction of flavonoids from Folium eucommiae and evaluation of antioxidant activity in multi-test systems in vitro. *Food Chemistry* 114, 1147-1154.
- [10]. Krishnaswamy, K., Orsat, V., Gariépy, Y., Thangavel, K., 2012. Optimization of Microwave-Assisted Extraction of Phenolic Antioxidants from Grape Seeds (*Vitis vinifera*). *Food and Bioprocess Technology*, 1-15.
- [11]. Kuda, T., Tsunekawa, M., Goto, H., Araki, Y., 2005. Antioxidant properties of four edible algae harvested in the Noto Peninsula, Japan. *Journal of Food Composition and Analysis* 18, 625-633.
- [12]. Li, H., Deng, Z., Wu, T., Liu, R., Loewen, S., Tsao, R., 2012. Microwave-assisted extraction of phenolics with maximal antioxidant activities in tomatoes. *Food Chemistry* 130, 928-936.
- [13]. Li, W., Wang, Z., Sun, Y.-s., Chen, L., Han, L.-k., Zheng, Y.-n., 2011. Application of response surface methodology to optimise ultrasonic-assisted extraction of four chromones in *Radix Saponnikoviae*. *Phytochemical Analysis* 22, 313-321.
- [14]. Li, Y., Qian, Z.-J., Ryu, B., Lee, S.-H., Kim, M.-M., Kim, S.-K., 2009. Chemical components and its antioxidant properties in vitro: An edible marine brown alga, *Ecklonia cava*. *Bioorganic & Medicinal Chemistry* 17, 1963-1973.
- [15]. Liyana-Pathirana, C., Shahidi, F., 2005. Optimization of extraction of phenolic compounds from wheat using response surface methodology. *Food Chemistry* 93, 47-56.
- [16]. López, A., Rico, M., Rivero, A., Suárez de Tangil, M., 2011. The effects of solvents on the phenolic contents and antioxidant activity of *Stylocaulon scoparium* algae extracts. *Food Chemistry* 125, 1104-1109.

- [17]. Nahas, R., Abatis, D., Anagnostopoulou, M.A., Kefalas, P., Vagias, C., Roussis, V., 2007. Radical-scavenging activity of Aegean Sea marine algae. *Food Chemistry* 102, 577-581.
- [18]. Nüchter M, O.B., Bonrath W, Gum A, 2004. Microwave assisted synthesis – a critical technology overview. *Green Chem* 6, 128 – 141.
- [19]. Plaza, M., Cifuentes, A., Ibáñez, E., 2008. In the search of new functional food ingredients from algae. *Trends in Food Science & Technology* 19, 31-39.
- [20]. Prieto, P., Pineda, M., Aguilar, M., 1999. Spectrophotometric Quantitation of Antioxidant Capacity through the Formation of a Phosphomolybdenum Complex: Specific Application to the Determination of Vitamin E. *Analytical Biochemistry* 269, 337-341.
- [21]. Routray, W., Orsat, V., Microwave-Assisted Extraction of Flavonoids: A Review. *Food and Bioprocess Technology*, 1-16.
- [22]. Silva, E.M., Rogez, H., Larondelle, Y., 2007. Optimization of extraction of phenolics from *Inga edulis* leaves using response surface methodology. *Separation and Purification Technology* 55, 381-387.
- [23]. Souza, B.W.S., Cerqueira, M.A., Martins, J.T., Quintas, M.A.C., Ferreira, A.n.C.S., Teixeira, J.A., Vicente, A.n.A., 2011. Antioxidant Potential of Two Red Seaweeds from the Brazilian Coasts. *Journal of Agricultural and Food Chemistry* 59, 5589-5594.
- [24]. Su, X.-Y., Wang, Z.-Y., Liu, J.-R., 2009. In vitro and in vivo antioxidant activity of *Pinus koraiensis* seed extract containing phenolic compounds. *Food Chemistry* 117, 681-686.
- [25]. Tabaraki, R., Heidarizadi, E., Benvidi, A., 2012. Optimization of ultrasonic-assisted extraction of pomegranate (*Punica granatum*) peel antioxidants by response surface methodology. *Separation and Purification Technology*.
- [26]. Tabaraki, R., Nateghi, A., 2011. Optimization of ultrasonic-assisted extraction of natural antioxidants from rice bran using response surface methodology. *Ultrasonics sonochemistry* 18, 1279-1286.
- [27]. Taga. M. silvia, M.E.E.a.P.D.E., 1984. Chia Seeds as a Source of Natural Lipid Antioxidants. *JAOCs~ vol. 61, no, 5*
- [28]. Vilku, K., Mawson, R., Simons, L., Bates, D., 2008. Applications and opportunities for ultrasound assisted extraction in the food industry — A review. *Innovative Food Science & Emerging Technologies* 9, 161-169.
- [29]. Wanasinghe, P.K.J.P.D., Shahidi, F., 1996. Optimization of hexametaphosphateassisted extraction of flaxseed proteins using response surface methodology. *Journal of Food Science* 61, 604–607.
- [30]. Wang, J., Zhang, J., Zhao, B., Wang, X., Wu, Y., Yao, J., 2010. A comparison study on microwave-assisted extraction of *Potentilla anserina L.* polysaccharides with conventional method: Molecule weight and antioxidant activities evaluation. *Carbohydrate Polymers* 80, 84-93.
- [31]. Wang, X., Wu, Q., Wu, Y., Chen, G., Yue, W., Liang, Q., 2012. Response Surface Optimized Ultrasonic-Assisted Extraction of Flavonoids from *Spargani* Rhizoma and Evaluation of Their in Vitro Antioxidant Activities. *Molecules* 17, 6769-6783.
- [32]. Zhang, G., He, L., Hu, M., 2011. Optimized ultrasonic-assisted extraction of flavonoids from *Prunella vulgaris L.* and evaluation of antioxidant activities in vitro. *Innovative Food Science & Emerging Technologies* 12, 18-25.
- [33]. Zheng X, W.X., Lan Y, Shi J, Jun Xue S, Liua C, 2009. Application of response urface methodology to optimize microwave-assisted extraction of silymarin from milk thistle seeds. *Separation and Purification Technology* 70, 34–40.

